

مدل‌سازی عددی ویسکوالاستیسیتهای خطی در نرم‌افزار روش اجزای محدود برای استفاده در مدل‌سازی فیزیک‌های چندگانه*

(یادداشت پژوهشی)

مجتبی حقیقی یزدی^(۱)جعفر اسکندری جم^(۲)

چکیده در این مقاله، قابلیت ایجاد یک مدل ویسکوالاستیک خطی در یک نرم‌افزار روش اجزای محدود (*COMSOL Multiphysics*) مورد بررسی قرار گرفته است. معادلات حاکم بر رفتار ویسکوالاستیسیتهای خطی برای حالت‌های تنش صفحه‌ای و کرنش صفحه‌ای ارائه شده است. درستی این معادلات و نحوه‌ی کاربرد آن‌ها در قالب یک مثال مهندسی مورد بررسی و تأیید قرار گرفته‌اند. از آنجایی که معادلات ارائه شده قابل استفاده در مدل‌سازی فیزیک‌های چندگانه می‌باشد، می‌توان از مدل ارائه شده در نرم‌افزار ویسکوالاستیک خطی به صورت کوپیل شده با فیزیک‌های دیگر نیز استفاده کرد.

واژه‌های کلیدی روش عددی، مدل‌سازی اجزای محدود، ویسکوالاستیک خطی، مدل رئولوژیک، فیزیک‌های چندگانه.

Numerical Modeling of Linear Viscoelasticity in a Finite Element Method Software Package to be used for Modeling of Multiphysics

M. Haghghi-Yazdi

J. Eskandari Jam

Abstract In this paper, the capabilities of modeling linear viscoelasticity in a finite element method software package (*COMSOL Multiphysics*) are investigated. The governing equations of linear viscoelasticity have been developed for 2D cases of plane stress and plane strain. These equations have been verified by solving a related engineering example. Since the developed equations are suitable for modeling of multiphysics mechanisms, the presented model can also be used for modeling of the linear viscoelasticity coupled with other multiphysics phenomena.

Key Words Numerical Method, Finite Element Modeling, Linear Viscoelasticity, Rheological Model, Multiphysics.

* تاریخ دریافت مقاله ۹۲/۵/۲۵ و تاریخ پذیرش آن ۹۲/۸/۱۱ می‌باشد.

(۱) نویسنده‌ی مسؤول: استادیار، دانشکده‌ی مهندسی مکانیک، پردیس دانشکده‌های فنی، دانشگاه تهران.

(۲) استاد، پژوهشکده‌ی کامپوزیت، دانشگاه صنعتی مالک اشتر، تهران.

مقدمه

نرم‌افزار امکان مدل‌سازی مدل‌های مکانیکی و به خصوص فیزیک‌های کوپل شده به راحتی فراهم است، لازم است تا مدل ویسکوالاستیک خطی موجود در این نرم‌افزار نیز توسعه‌ی بیشتری یابد تا قابلیت مدل‌سازی فیزیک‌های چندگانه شامل پدیده‌های رفتاری ویسکوالاستیک فراهم گردد.

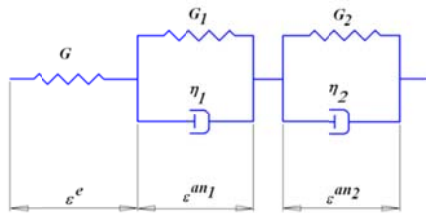
به همین منظور قابلیت مدل‌سازی رفتار ویسکوالاستیک خطی در یک پلیمر شیشه‌ای با استفاده از مدل‌های تعمیم‌یافته‌ی ماکسول و کلوین-وویت در این پژوهش توسعه یافته است. مدل‌سازی توسط مژول معادله‌ی دیفرانسیل جزیی (PDE) در نرم‌افزار کامسول ایجاد شده است و بنا بر این می‌تواند به راحتی به مسایلی که در آن‌ها مکانیک سازه‌ای با دیگر فیزیک‌ها کوپل می‌باشد، تعمیم داده شود. یک نمونه از این گونه فیزیک‌های کوپل شده پدیده‌ی انتقال گاز درون لوله‌های پلیمری است، که در آن فیزیک‌های سه‌گانه‌ی مکانیک سازه‌ای، نفوذ جرم و رسانش حرارتی دخیل هستند [5-8]. در این پژوهش قابلیت مدل‌سازی رفتار ویسکوالاستیک خطی در نرم‌افزار اجزای محدود کامسول با استفاده از مدل‌های رئولوژیک تعمیم‌یافته‌ی ماکسول و کلوین-وویت افزایش داده شده است. این قابلیت در قالب حل مثالی نیز به نمایش در آمده است.

مدل‌های رئولوژیک تعمیم‌یافته‌ی ماکسول و کلوین-وویت هم‌چنین می‌توانند برای مشخصه‌سازی مدول (modulus) و نرمی (compliance) یک ماده‌ی پلیمری در آزمایش‌ها خوش و رها شدن تنش مورد استفاده قرار گیرند. اما مدولی که از مدل ماکسول حاصل می‌شود به طور مستقیم قابل تبدیل به نرمی در مدل کلوین-وویت نمی‌باشد. این عبارت برای عکس این حالت نیز صادق است. به عبارتی نرمی حاصل از آزمایش‌ها مستقیماً قابل تبدیل به مدول نمی‌باشد. از آنجایی که در برخی از مطالعات لازم است که چنین تبدیلی بین پارامترهای مدول و نرمی انجام شود،

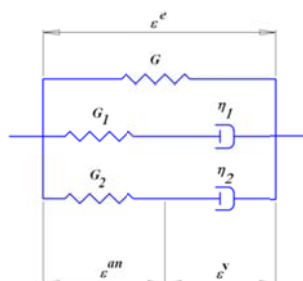
رفتار ویسکوالاستیک مواد به دلیل کاربرد فراوانی که در صنایع مختلف دارد، موضوع پژوهش بسیاری از محققان قرار گرفته است. در میان این گونه مواد، پلیمرهای شیشه‌ای نمونه‌ی بارز و آشنایی هستند که دارای رفتار ویسکوالاستیک می‌باشند؛ به عبارتی رفتار وابسته به زمان و دما از خود نشان می‌دهند. عموماً مدل‌سازی رفتار ویسکوالاستیک خطی در این نوع مواد با استفاده از مدل‌های ویسکوالاستیک که معروف به مدل‌های رئولوژیک می‌باشند، انجام می‌پذیرد. این مدل‌ها عموماً از تعدادی فنر خطی و سیلندر-پیستون تشکیل شده‌اند که به صورت موازی و یا سری به هم متصل می‌شوند. در بین مدل‌های موجود، دو مدل بسیار معروف به نام مدل‌های ماکسول و کلوین-وویت می‌باشد. این مدل‌ها در نرم‌افزارهای اجزای محدودی هم‌چون آباکوس (ABAQUS) برای مدل‌سازی رفتار ویسکوالاستیک به کار گرفته می‌شوند (به عنوان مثال [1]).

در نرم‌افزاری مانند نرم‌افزار کامسول (COMSOL Multiphysics) [2] نیز مطالعاتی در زمینه‌ی مدل‌سازی رفتار ویسکوالاستیک مواد صورت گرفته است. به عنوان مثال، موراواک و لنزلت [3] به مدل‌سازی رفتار ویسکوالاستیک خطی در مواد بیولوژیکی پرداخته‌اند. ایشان با استفاده از نرم‌افزار کامسول توانستند مدل ویسکوالاستیک را برای آزمایش‌های خوش و رها شدن تنش ایجاد کنند و درستی آن را مورد تأیید قرار دهند. هم‌چنین ماروالووا [4] از قابلیت نرم‌افزار کامسول در مدل‌سازی تنش ویسکوالاستیک یک نوع لاستیک در کرنش‌های بزرگ بهره برد. با وجود این، با توجه به مدل‌های رئولوژیک مختلف موجود برای مشخصه‌سازی رفتار ویسکوالاستیک مواد (مانند مدل تعمیم‌یافته‌ی کلوین-وویت و ماکسول)، هنوز مدل‌سازی رفتار ویسکوالاستیک مواد در این نرم‌افزار به طور کامل توسعه نیافته‌اند. از آنجایی که در این

یک فنر الاستیک خطی به صورت سری به هم متصل می شوند. در مدل تعیین یافته‌ی ماکسول نیز دو المان اولیه‌ی مدل ماکسول با یک فنر الاستیک خطی متصل می‌گردد. در هر کدام از این مدل‌های تعیین یافته بسته به رفتار ویسکوالاستیک ماده مورد نظر می‌توان تعداد المان‌های اولیه کلوین- وویت و ماکسول را افزایش داد.



شکل ۱ نمایش نمادین مدل تعیین یافته کلوین- وویت



شکل ۲ نمایش نمادین مدل تعیین یافته ماکسول

در پژوهش حاضر، همان گونه که از شکل‌های (۱) و (۲) بر می‌آید، دو المان اولیه‌ی کلوین- وویت و ماکسول به ترتیب برای ایجاد مدل‌های تعیین یافته کلوین- وویت و ماکسول استفاده شده است. این انتخاب به دلیل بهتر مدل نمودن رفتار ویسکوالاستیک ماده‌ی پلیمری مورد استفاده در مثال مهندسی این پژوهش است.

برای استخراج معادلات حاکم توسط مدل‌های تعیین یافته‌ی کلوین- وویت و ماکسول فرض می‌شود که تنش کلی ای برابر با ۵ به مدل اعمال شده و باعث ایجاد کرنش کلی ۴ در آن می‌شود. اعمال این تنش

تحقیقانی [۹] در این زمینه روش‌های گوناگونی مانند روش‌های عددی ارائه نموده‌اند. اما در این پژوهش نشان داده شده است که با ایجاد یک مدل اجزای محدود می‌توان یکی از پارامترهای مدول یا نرمی را در صورت داشتن پارامتر دیگر پیش‌بینی نمود.

در ادامه‌ی این مقاله، بخشی جهت معرفی تئوری مورد استفاده در مدل‌سازی رفتار ویسکوالاستیک خطی و روابط حاکم مربوطه ارائه می‌گردد. سپس با استفاده از نرم‌افزار کامسول مثالی برای نشان دادن قابلیت استفاده از این مدل‌های رئولوژیکی برای تحلیل رفتار ویسکوالاستیک خطی مواد مورد بررسی قرار می‌گیرد. در ادامه نحوه‌ی تبدیل بین پارامترهای مدول و نرمی ارائه می‌شود. در تهاییت، در بخش پایانی مقاله که مربوط به نتایج می‌باشد، نتایج حاصل از تحلیل عددی مثال مذکور و همچنین تبدیل بین مدول و نرمی مورد بررسی قرار می‌گیرد.

تئوری و معادلات حاکم

رفتار ویسکوالاستیک در موادی مانند مواد پلیمری می‌تواند توسط دو مدل رئولوژیکی معروف تحت نام‌های مدل کلوین- وویت و مدل ماکسول مدل شود. این مدل‌های اولیه هرچند در مطالعه‌ی رفتارشناسی مواد ویسکوالاستیک مفید می‌باشند، اما پدیده‌های مکانیکی‌ای مانند تحرش و رها شدن تنش را به طور کاملاً صحیحی نمی‌توانند مدل نمایند. از این رو، بهمنظور رفع این نقصه با استفاده از این دو مدل ساده مدل‌های دیگری ارائه شده‌اند که عمدتاً شامل ترکیبی از این مدل‌های اولیه با تعدادی فنر و سیلندر- پیستون به صورت موازی و یا سری می‌باشند. دو مدل معروف با نام‌های مدل تعیین یافته‌ی کلوین- وویت (شکل ۱) و مدل تعیین یافته‌ی ماکسول (شکل ۲) از این دسته مدل‌های رئولوژیک می‌باشند. در مدل تعیین یافته‌ی کلوین- وویت، دو المان اولیه مدل کلوین- وویت با

وضعیت تنش صفحه‌ای و کرنش صفحه‌ای نوشه شوند. این معادلات که می‌توانند در مدل‌سازی رفتار ویسکوالاستیک خطی یک ماده مورد استفاده قرار گیرند، در پیوست الف ارائه شده‌اند.

معرفی نرم‌افزار کامسول

در این پژوهش از نرم‌افزار کامسول برای مدل‌سازی مسئله‌ی مورد نظر استفاده شده است. لذا پیش از طرح مسئله، به معرفی مختصر این نرم‌افزار و چگونگی استفاده از آن پرداخته می‌شود.

نرم‌افزار کامسول نرم‌افزار قدرتمندی است که براساس زبان برنامه‌نویسی متلب (MATLAB) بنا شده است. این نرم‌افزار که از ابتدا با نام فملب (FEMLAB) [۱۰] معروف شد، در سال ۱۹۹۸ ایجاد شد و در سال ۲۰۰۵ به صورت کنونی اش درآمد. این نرم‌افزار که به عنوان وسیله‌ای محاسباتی برای معالات دیفرانسیل جزیی عمل می‌کند، امکان تغییرات معادلات را فراهم می‌سازد. قابلیت مدل‌سازی فیزیک‌های چندگانه‌ی نرم‌افزار می‌تواند با در برگرفتن مسائل پیچیده نیز گسترش داده شود. هم‌چنین نرم‌افزار، کدهای ام-فایل (m-file) مربوط به نرم‌افزار متلب را نیز تولید می‌نماید که خود موجب آسان‌تر شدن برنامه‌نویسی می‌گردد. نرم‌افزار کامسول از روش اجزای محدود به عنوان ابزاری برای حل دستگاه معادلات دیفرانسیل جزیی استفاده می‌کند. در واقع این معادلات را به مجموعه‌ای از ماتریس سفتی و بردار بارگذاری تعريف شده در روش اجزای محدود تبدیل می‌کند و سپس معادلات را در محدوده‌ی زیر دامنه‌های کوچکتر یا همان المان‌های محدود، حل می‌نماید. از لحاظ ریاضی نرم‌افزار کامسول با استفاده از مفاهیم اجزای محدود، یک معادله‌ی دیفرانسیل جزیی را به شکل ضعیف آن تبدیل می‌سازد که در آن توابع پایه‌ای لاگرانژ (یا توابع شکل) برای نمایندگی متغیرهای میدان

باعث ایجاد تنش‌ها و کرنش‌هایی در فنرها و دمپرهای موجود در این دو مدل بنا به خصوصیات رفتاری هر کدام از آن‌ها می‌شود. خصوصیات فنرها و دمپرهای هم‌چنین کرنش‌های مربوط در شکل‌های (۲) و (۱) نیز نمایش داده شده‌اند. این کرنش‌ها به کرنش الاستیک (۴)، کرنش غیر الاستیک (۳) و کرنش ویسکوالاستیک (۵) تقسیم می‌شوند. تنش‌ها و کرنش‌های ایجاد شده در این دو مدل مطابق روابط زیر بهم مربوط می‌شوند:

مدل تعمیم یافته‌ی کلوین-وویت:

$$\underline{\underline{\varepsilon}} = \underline{\underline{\varepsilon}}^e + \underline{\underline{\varepsilon}}^{an_1} + \underline{\underline{\varepsilon}}^{an_2} \quad (1)$$

$$\underline{\underline{\varepsilon}}^{an_1} = \underline{\underline{\varepsilon}}^{v_1} \quad (2)$$

$$\underline{\underline{\varepsilon}}^{an_2} = \underline{\underline{\varepsilon}}^{v_2} \quad (3)$$

$$\begin{aligned} \underline{\sigma} &= \underline{\sigma}^e = \underline{\underline{\sigma}}^{an_1} + \underline{\underline{\sigma}}^{v_1} \\ &= \underline{\underline{\sigma}}^{an_2} + \underline{\underline{\sigma}}^{v_2} \end{aligned} \quad (4)$$

مدل تعمیم یافته‌ی ماکسول:

$$\begin{aligned} \underline{\underline{\varepsilon}} &= \underline{\underline{\varepsilon}}^e = \underline{\underline{\varepsilon}}^{an_1} + \underline{\underline{\varepsilon}}^{v_1} \\ &= \underline{\underline{\varepsilon}}^{an_2} + \underline{\underline{\varepsilon}}^{v_2} \end{aligned} \quad (5)$$

$$\underline{\sigma} = \underline{\sigma}^e + \underline{\sigma}^{an_1} + \underline{\sigma}^{an_2} \quad (6)$$

$$\underline{\underline{\sigma}}^{an_1} = \underline{\underline{\sigma}}^{v_1} \quad (7)$$

$$\underline{\underline{\sigma}}^{an_2} = \underline{\underline{\sigma}}^{v_2} \quad (8)$$

معادلات حاکم برای یک ماده‌ی ویسکوالاستیک که از دو مدل تعمیم یافته‌ی کلوین-وویت و ماکسول تبعیت می‌کنند، می‌توانند در حالت صفحه‌ای برای دو

PDE

$$e_a \frac{\partial^2 u}{\partial t^2} + d_a \frac{\partial u}{\partial t} + \nabla \cdot \Gamma = F \quad (10)$$

که در آن Γ و F توابع متغیر وابسته به u و مشتقات مکانی آن بر روی دامنه محاسباتی Ω می‌باشند.
ضرایب موجود در معادلات (۱۰) و (۹) به گونه‌ای انتخاب شدند که منجر به معادلات حاکم بر رفتار ویسکوالاستیک خطی (ارائه شده در پیوست الف) گردند.

مدل‌سازی

به منظور پیاده‌سازی معادلات در جهت مدل‌سازی ویسکوالاستیستیک خطی، مثالی مهندسی شامل یک لوله‌ی تحت فشار در نظر گرفته می‌شود. این مسئله، نمونه‌ای مناسب از یک هندسه با مرزهای منحنی شکل است که می‌تواند در حالات مختلف مدل شود. شکل شبکه‌بندی شده‌ی لوله و شرایط مرزی اعمالی به آن در شکل (۳) به نمایش در آمده است. به علت تقارن مدل، تنها یک‌چهارم لوله مورد تحلیل قرار گرفته است.

در این مسئله فرض می‌شود که لوله از ماده‌ی پلیمری PC/ABS ساخته شده است که در نتیجه دارای رفتار ویسکوالاستیک می‌باشد. بنابراین رفتار چنین ماده‌ای می‌تواند توسط مدل‌های تعمیم یافته‌ی کلوین-وویت و ماکسول (شکل‌های ۱ و ۲) مدل گردد. جزئیات مدل‌سازی برای مدل تعمیم یافته‌ی کلوین-وویت در حالت کرنش صفحه‌ای در پیوست ب آمده است. دیگر مدل‌ها نیز با توجه به روش ارائه شده، قبل اجرا کردن در نرم‌افزار می‌باشند.

پس از ایجاد مدل با استفاده از این معادلات، یک تحلیل گذرا بر روی لوله مورد نظر در مسئله (شکل ۳) انجام شد. در این تحلیل فرض بر آن شد که ماده‌ای که لوله از آن ساخته شده است، دارای الگوی رفتاری مدل تعمیم یافته‌ی کلوین-وویت و مدل تعمیم یافته‌ی

به صورت ناپیوسته بر روی دامنه مورد استفاده قرار می‌گیرند. سپس از این گونه توابع ناپیوسته انتگرال‌گیری می‌شود تا به جواب مسئله ختم شود.[11]

ماژول معادلات دیفرانسیل جزیی. نرم‌افزار کامسول، مازول‌های متفاوتی برای مدل کردن فیزیک‌هایی مانند مکانیک سازه‌ای، انتقال حرارت، نفوذ جرم و غیره دارد. یکی از این مازول‌ها، مازول معادلات دیفرانسیل جزیی است که در جهت مدل‌سازی براساس معادلات استفاده می‌شود. به کار بردن مازول معادلات دیفرانسیل جزیی در نرم‌افزار، مدل‌سازی دستگاه پیچیده‌ای از معادلات دیفرانسیل جزیی را آسان‌تر می‌سازد و این به دلیل مزیت‌های متعددی است که نرم‌افزار دارد؛ از قبیل در دسترس بودن منبع کد نرم‌افزار، آسانی اصلاح آن و عدم نیاز به نوشتمن کد برای تعریف المان جدید توسط کاربر (UEL). مازول معادلات دیفرانسیل جزیی در این نرم‌افزار، سه فرم از معادلات دیفرانسیل جزیی را در اختیار کاربران قرار می‌دهد: فرم ضریبی (coefficient)، فرم عمومی (general form)، و فرم ضعیف ([12]. از آنجایی که در این مقاله از فرم‌های ضریبی و عمومی استفاده شده است، این دو فرم در مسئله مورد نظر در این مقاله به اختصار در زیر معرفی می‌شوند:

PDE

$$e_a \frac{\partial^2 u}{\partial t^2} + d_a \frac{\partial u}{\partial t} + \nabla \cdot (-c \nabla u - \alpha u + \gamma) + au + \beta \cdot \nabla u = f \quad (9)$$

که در آن u متغیر مستقل روی دامنه محاسباتی که با Ω در نرم‌افزار کامسول نمایش داده می‌شود، می‌باشد.

$$\begin{aligned} & + D_2 \left[1 - \exp \left(-\frac{t}{\tau_2} \right) \right] \\ E = & E_e + E_1 \exp \left(-\frac{t}{\tau_1} \right) \\ & + E_2 \exp \left(-\frac{t}{\tau_2} \right) \end{aligned} \quad (12)$$

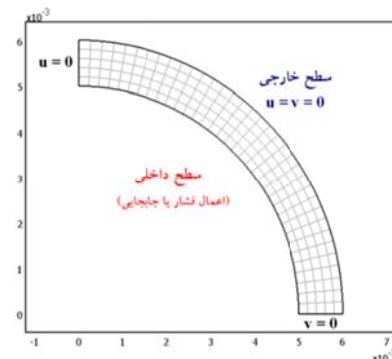
که در آن D نشان دهنده نرمی و E بیانگر مدول می‌باشد. اندیس‌های ۱ و ۲ که در این روابط به کار گرفته شده‌اند، به دو شاخه از دو مدل رئولوژیک (شکل‌های ۱ و ۲) مرتبط می‌باشند.

پنج پارامتر در مدول حاصل از مدل تعمیم یافته‌ی ماکسول (رابطه‌ی ۱۲) وجود دارد که عبارتند از E_e , E_1 , τ_1 , E_2 , τ_2 . این پارامترها را می‌توان از برآذش یک منحنی به داده‌های آزمایشگاهی حاصل از تست‌های رهاسدن تنش به دست آورد. این کار توسط محققان دیگری در همین زمینه این کار را انجام داده‌اند [۱۴]. به عنوان مثال، مدول یک قطعه‌ی آزمایشگاهی در دمای 65°C به صورت زیر می‌باشد [۱۴]:

$$\begin{aligned} E[\text{GPa}] = & 1.033 \\ & + 0.851 \exp \left(-\frac{t}{3023} \right) \\ & + 0.273 \exp \left(-\frac{t}{260} \right) \end{aligned} \quad (13)$$

به منظور یافتن مقادیر پنج پارامتر مدل تعمیم یافته‌ی کلوین-وویت (E_e , D_1 , D_2 , τ_1 و τ_2) که معادل مدل بالا نیز می‌باشند، یک تحلیل دوبعدی بر روی یک صفحه‌ی مستطیلی و با استفاده از مدل تعمیم یافته‌ی ماکسول انجام می‌شود. برای شبیه‌سازی بارگذاری خوشی یک تنش تکمحوری ثابت بر صفحه اعمال می‌گردد. چنانچه مقدار تنش تکمحوری اعمالی بر صفحه برابر با واحد در نظر گرفته شود، کرنش به دست آمده از تحلیل، معادل نرمی ماده خواهد بود. سپس نقاط داده‌های کرنش به معادله‌ی نرمی، معادله‌ی (۱۱)، برآذش داده می‌شود تا فرمولی حاصل شود.

ماکسول باشد. این تحلیل در دو حالت تنش صفحه‌ای و کرنش صفحه‌ای انجام شد و شرایط مرزی و بارگذاری به این گونه بود که سطح خارجی لوله ثابت در نظر گرفته شد و سطح داخلی آن تحت تأثیر دو نوع بارگذاری قرار گرفت. بارگذاری اول شامل اعمال یک تغییر مکان شعاعی ثابت نسبت به زمان و برابر با 0.1 mm بود که شرایط بارگذاری رها شدن تنش را فراهم می‌نمود و بارگذاری دوم عبارت بود از اعمال فشار داخلی ثابتی نسبت به زمان و برابر با 1 MPa که شرایط بارگذاری خرزشی را ایجاد می‌کرد.



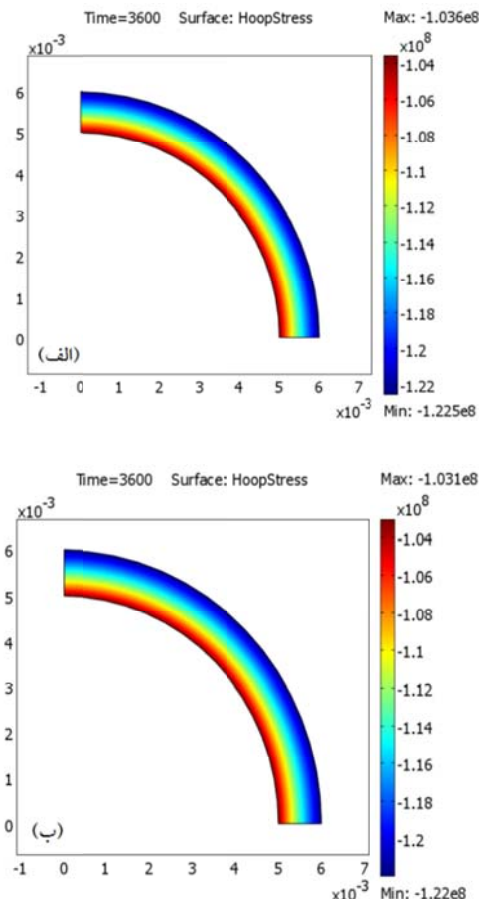
شکل ۳ هندسه و شرایط مرزی یک چهارم از لوله d مدل شده

تبديل مدول و نرمی به یکدیگر

معمولًا برای استفاده در یک مدل نرمافزار اجزای محدود، نرمی و مدول مواد ویسکوالاستیک را به صورت سری پرونی (Prony) بیان می‌کنند. این گونه نحوه‌ی بیان این دو پارامتر نسبت به گونه‌های دیگر Kohlrausch-Williams-Watts (KWW) دارای کاربرد بهتری در مدل‌سازی اجزای محدود می‌باشد [۱۳]. در این صورت نرمی و مدول مرتبط با مدل تعمیم یافته‌ی کلوین-وویت و مدل تعمیم یافته‌ی ماکسول (شکل‌های ۱ و ۲) به صورت زیر می‌باشند:

$$D = D_e + D_1 \left[1 - \exp \left(-\frac{t}{\tau_1} \right) \right] \quad (11)$$

حاصل از به کارگیری دو مدل رئولوژیک مختلف در نرم افزار کامسول یکسان می باشد.

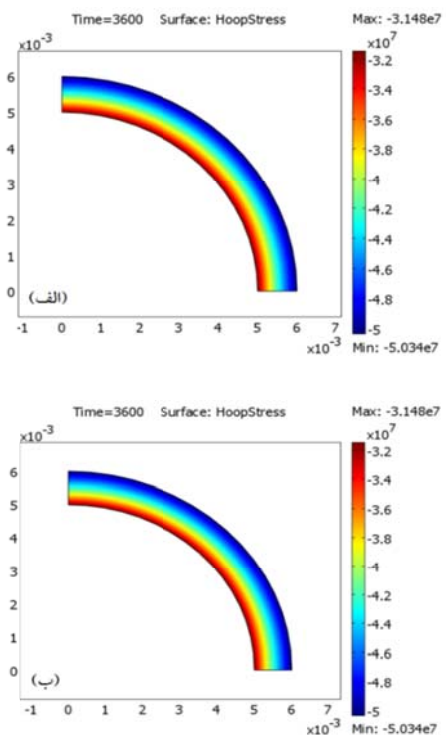


شکل ۵ تغییرات تنش محیطی حاصل از تحلیل کرنش صفحه‌ای در نرم افزار کامسول با استفاده از (الف) مدل تعیین یافته‌ی کلوین- وویت و (ب) مدل تعیین یافته‌ی ماکسول

به طریق مشابه، نتایج حاصل از تحلیل‌های خوشی در قالب تغییرات کرنش شعاعی در دو حالت تنش صفحه‌ای و کرنش صفحه‌ای در شکل‌های (۷) و (۶) ارائه شده‌اند. اختلاف حد بالا و پایین کرنش شعاعی نیز در جدول (۲) ارائه شده است. از مقایسه‌ی مقادیر کرنش شعاعی حاصل از به کارگیری دو مدل رئولوژیک نیز به این نتیجه می‌رسیم که حداقل اختلاف در حدود ۵٪ است و بنابراین به کارگیری هر دو مدل رئولوژیک در نرم افزار کامسول، نتایج یکسانی خواهد داشت.

نتایج و بحث بر روی آنها

تحلیل عددی. یک تحلیل گذرا در نرم افزار کامسول انجام شد و نتایج حاصل با نتایج به دست آمده از تحلیل‌های مشابه ایجاد شده در نرم افزارهای دیگر مانند آباکوس مورد مقایسه قرار گرفت. شکل‌های (۵) و (۴) تغییرات تنش محیطی را که از تحلیل‌های رها شدن تنش در لوله برای حالات تنش صفحه‌ای و کرنش صفحه‌ای به دست آمده است، نمایش می‌دهند. این تحلیل‌ها در نرم افزار کامسول انجام شده است.



شکل ۴ تغییرات تنش محیطی حاصل از تحلیل تنش صفحه‌ای در نرم افزار کامسول با استفاده از (الف) مدل تعیین یافته‌ی کلوین- وویت و (ب) مدل تعیین یافته‌ی ماکسول

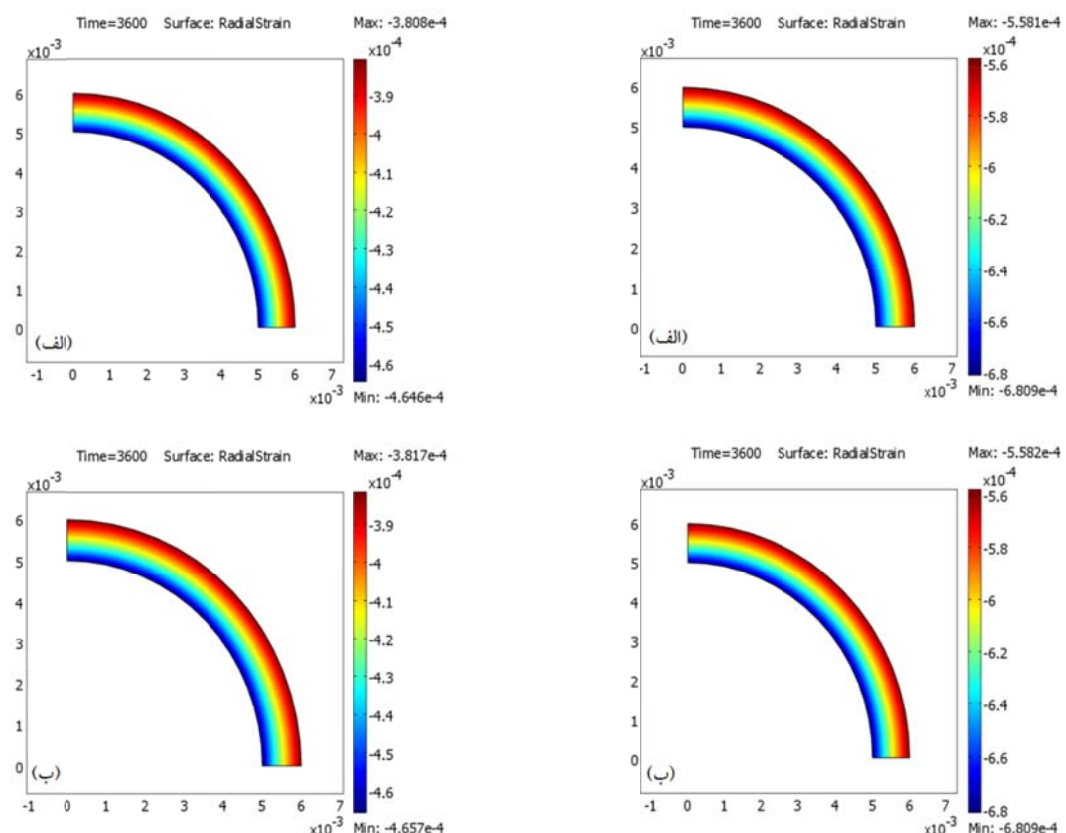
مقایسه‌ی حد بالا و پایین تنش محیطی در شکل‌های (۵) و (۴) در جدول (۱) ارائه شده است و اختلاف مقادیر حاصل از به کارگیری هر دو مدل رئولوژیک بر حسب درصد بیان شده است. همان‌طور که مشاهده می‌شود، اختلاف این مقادیر ناچیز است (حدود ۰.۵٪) و در نتیجه نتایج توزیع تنش محیطی

جدول ۱ مقایسه‌ی مقادیر تنش محیطی بر حسب مگاپاسکال حاصل از تحلیل‌های نرم‌افزار کامسول و آباکوس

کرنش صفحه‌ای		تنش صفحه‌ای	
اختلاف:	-103.6 K-V	اختلاف:	-31.48 K-V*
0.5%	-103.1 M	0.0%	-31.48 M**
اختلاف:	-122.5 K-V	اختلاف:	-50.34 K-V
	0.4% -122.0 M	0.0%	-50.34 M
اختلاف با		اختلاف با	
کامسول:	-103.1	کامسول:	-31.49
0.5%		0.0%	حد. بالا
اختلاف با		اختلاف با	آباکوس
کامسول:	-122.0	کامسول:	-50.38
0.4%		0.1%	حد. پایین

*K-V: Kelvin-Voigt (مدل تعیین‌یافته‌ی کلوین - وویت)

**M: Maxwell (مدل تعیین‌یافته‌ی ماکسول)



شکل ۷ تغییرات کرنش شعاعی حاصل از تحلیل کرنش صفحه‌ای در نرم‌افزار کامسول با استفاده از (الف) مدل تعیین‌یافته‌ی کلوین- وویت و (ب) مدل تعیین‌یافته‌ی ماکسول

شکل ۶ تغییرات کرنش شعاعی حاصل از تحلیل تنش صفحه‌ای در نرم‌افزار کامسول با استفاده از (الف) مدل تعیین‌یافته‌ی کلوین- وویت و (ب) مدل تعیین‌یافته‌ی ماکسول

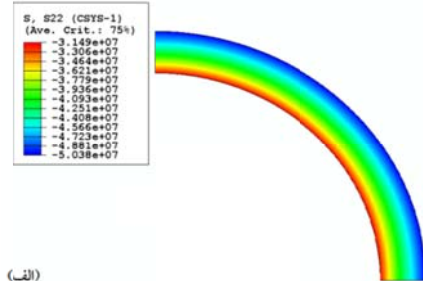
جدول ۲ مقایسه مقادیر کرنش شعاعی حاصل از تحلیل‌های نرم‌افزار کامسول و آباکوس

کرنش صفحه‌ای		تنش صفحه‌ای		حد بالا کامسول	حد پایین آباکوس
اختلاف:	K-V	اختلاف:	K-V*		
0.24%	-0.3808	0.02%	-0.5581	حد بالا کامسول	حد پایین آباکوس
	-0.3817		-0.5582		
0.24%	-0.4646	0.00%	-0.6809	حد پایین آباکوس	حد بالا کامسول
	-0.4657		-0.6809		
اختلاف با کامسول: 0.18%	-0.3815	اختلاف با کامسول: 0.05%	-0.5579	حد بالا	
اختلاف با کامسول: 0.24%	-0.4657	اختلاف با کامسول: 0.01%	-0.6810	حد پایین	

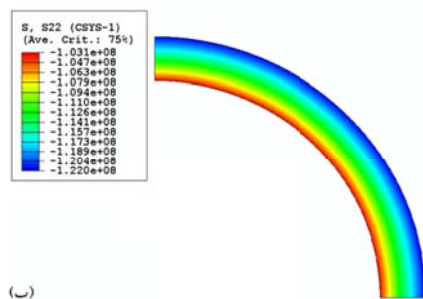
*K-V: Kelvin-Voigt (مدل تعیین‌یافته‌ی کلوین - وویت)

**M: Maxwell (مدل تعیین‌یافته‌ی ماکسول)

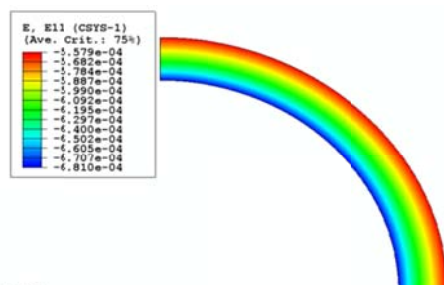
حاصل از این دو نرم‌افزار در جدول‌های (۲) و (۱) به صورت درصد بیان گردیده است که نشان‌دهنده‌ی حد اکثر اختلاف 50% است. از آنجایی که مدل ویسکوالاستیسیته در نرم‌افزار آباکوس قبلًا مورد تأیید قرار گرفته است، مقایسه‌ی انجام شده نیز صحت مدل‌سازی با معادلات دیفرانسیل جزیی در نرم‌افزار کامسول را برای رفتار ویسکوالاستیک خطی نشان می‌دهد.



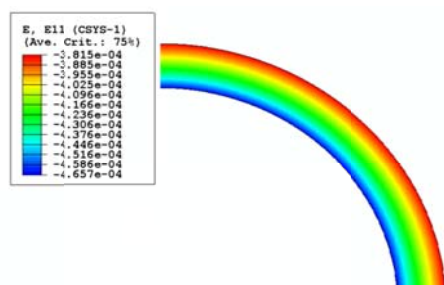
(الف)



شکل ۸ تغییرات تنش محیطی حاصل از تحلیل (الف) تنش صفحه‌ای و (ب) کرنش صفحه‌ای در نرم‌افزار آباکوس



(الف)



شکل ۹ تغییرات کرنش شعاعی حاصل از تحلیل (الف) تنش صفحه‌ای و (ب) کرنش صفحه‌ای در نرم‌افزار آباکوس

به منظور مقایسه‌ی نتایج حاصل، نتایج به دست آمده از تحلیل‌های متناظر در نرم‌افزار اجزای محدود ABAQUS در شکل‌های (۹) و (۸) نشان داده شده‌اند. همان‌گونه که از شکل‌های (۴-۶) دیده می‌شود، تطابق خیلی خوبی بین نتایج حاصل از تحلیل‌های نرم‌افزار کامسول با نتایج تحلیل‌های متناظر در نرم‌افزار آباکوس وجود دارد. همچنین اختلاف حدود بالا و پایین مقادیر تنش محیطی و کرنش شعاعی

گیرد. همچنین نرمی حاصل در رابطه‌ی بالا با رابطه‌ای که با مدول طبق رابطه‌ی زیر [15] دارد، مورد تأیید قرار گرفت:

$$\int_0^t E(t)D(t-\tau)d\tau = t \quad (17)$$

مشاهده شد که پارامترهای بهدست آمده برای نرمی (رابطه ۱۶) در معادله‌ی (۱۷) صدق می‌کند.

نتیجه‌گیری

در این پژوهش رفتار ویسکوالاستیک خطی توسط مدل ارائه شده در نرم‌افزار کامسول مدل گردید. در معادلات به کار رفته در مدل پیشنهادی، از دو مدل رئولوژیک معروف به نام مدل تعییم یافته‌ی کلوین-وویت و مدل تعییم یافته‌ی ماکسول استفاده شد و معادلات برای دو حالت تنش صفحه‌ای و کرنش صفحه‌ای ارائه گردید. مدل ارائه شده برای نشان دادن رفتار ماده که از نتایج تست‌های آزمایشگاهی تحت بارگذاری خرسنی یا رها شدن تنش بهدست می‌آید، به کار می‌رود. مدل پیشنهادی در این کار پژوهشی همچنین می‌تواند برای بهدست آوردن مدول یا نرمی یک ماده ویسکوالاستیک در حالی که داده‌های آزمایشگاهی تنها برای یکی از حالات بارگذاری (خرسنی یا رها شدن تنش) در دسترس است، به کار رود. کاربرد مهم دیگر رویکرد ارائه شده در این پژوهش، در تحلیل رفتار ویسکوالاستیک خطی است در مسئله‌ای که فیزیک مکانیک سازه‌ای (که در برگیرنده رفتار ویسکوالاستیک ماده است) با فیزیک‌های چندگانه دیگری نیز کوپل شده باشد. این امکان وجود دارد که معادلات ویسکوالاستیک ارائه شده در این مطالعه را با معادلات حاکم بر فیزیک‌های دیگر ترکیب نمود.

همان‌گونه که در مقدمه نیز آورده شد، مدل ویسکوالاستیک ارائه شده در این پژوهش قابل استفاده در مدل‌سازی فیزیک‌های چندگانه نیز می‌باشد. به عنوان مثال، در مسایل شامل فیزیک‌های کوپل مکانیک سازه‌ای و رسانش حرارتی (مانند سازه‌هایی که در آن‌ها مقدار تنش حرارتی قابل توجه است)، معادلات حاکم بر رفتار مکانیک سازه‌ای یک ماده ویسکوالاستیک به صورت زیر می‌باشد:

$$\underline{\underline{\sigma}} = \lambda^e \left[\text{tr} \left(\underline{\underline{\varepsilon}}^e \right) \right] \underline{\underline{I}} + 2\mu^e \underline{\underline{\varepsilon}}^e - (3\lambda^e + 2\mu^e)(\alpha_T^e \Delta T) \underline{\underline{I}} \quad (14)$$

$$\underline{\underline{\sigma}}^{ani} = \lambda^{ani} \left[\text{tr} \left(\underline{\underline{\varepsilon}}^{ani} \right) \right] \underline{\underline{I}} + 2\mu^{ani} \underline{\underline{\varepsilon}}^{ani} - (3\lambda^{ani} + 2\mu^{ani})(\alpha_T^{ani} \Delta T) \underline{\underline{I}} \quad (15)$$

با دقت در معادلات (۱۵) و (۱۴) مشاهده می‌شود که تغییرات دما به صورت کرنش حرارتی ($\alpha_T \Delta T$) در این معادلات ظاهر می‌شود. مدل‌سازی این معادله نیز با اصلاح معادلات ویسکوالاستیک ارائه شده در این مقاله قابل انجام است.

تبديل بین مدول و نرمی. با استفاده از مدل تعییم یافته‌ی ماکسول در تحلیل بر روی یک ورق دارای رفتار ویسکوالاستیک، نقاط کرنش بهدست آمد. سپس با برآش نقاط حاصل بر معادله‌ی نرمی (معادله‌ی ۱۱)، رابطه‌ای به صورت زیر حاصل شد:

$$D \left[\frac{1}{\text{GPa}} \right] = 0.464 + 0.444 \left\{ 1 - \exp \left(- \frac{t}{5547} \right) \right\} + 0.061 \left\{ 1 - \exp \left(- \frac{t}{296} \right) \right\} \quad (16)$$

رابطه‌ی بالا می‌تواند برای مدل‌سازی نرمی یک نمونه‌ی پلیمری در دمای 65°C همراه با به کارگیری مدل تعییم یافته‌ی کلوین-وویت مورد استفاده قرار

مراجع

1. Gasser, T. C. and Forsell, C., "The Numerical Implementation of Invariant-based Viscoelastic Formulations at Finite Strains. An Anisotropic Model for the Passive Myocardium", *Computer Methods in Applied Mechanics and Engineering*, Vol. 200(49-52), pp. 3637-3645, (2011).
2. COMSOL Multiphysics 4.0a, COMSOL Inc., (2005).
3. Moravec, F. and Letzelter, N., "On the Modeling of the Linear Viscoelastic Behaviour of Biological Materials Using Comsol Multiphysics", *Applied and Computational Mechanics*, Vol. 1, pp. 175-184, (2007).
4. Marvalova, B., "Application of COMSOL Multiphysics 3.2 to Finite Strain Viscoelasticity of an Elastomeric Solid", *Proceedings of the COMSOL Users Conference*, Prague, October, (2006).
5. Rambert, G., Grandidier, J.-C. and Cangemi, L., "A Modelling of the Coupled Thermo-diffuso-Elastic Linear Behaviour. Application to Explosive Decompression of Polymers", *Oil & Gas Science and Technology – Rev. IFP*, Vol. 58(5), pp. 571-591, (2003).
6. Rambert, G. and Grandidier, J.-C., "An Approach to the Coupled Behaviour of Polymers Subjected to a Thermo-Mechanical Loading in a Gaseous Environment", *European Journal of Mechanics A/Solids*, Vol. 24, pp. 151-168, (2005).
7. Rambert, G., Jugla, G. and Grandidier, J.-C., "A Modelling of the Direct Couplings between Heat Transfer, Mass Transport, Chemical Reactions and Mechanical Behaviour. Numerical Implementation to Explosive Decomposition", *Composites: Part A*, Vol. 37, pp. 571-584, (2006).
8. Rambert, G., Grandidier, J.-C. and Aifantis, E.C., "On the Direct Interactions between Heat Transfer, Mass Transport and Chemical Processes within Gradient Elasticity", *European Journal of Mechanics, A/Solids*, Vol. 26(1), pp. 68-87, (2007).
9. Sorvari, J. and Malinen, M., "Numerical Interconversion between Linear Viscoelastic Material Functions with Regularization", *International Journal of Solids and Structures*, Vol. 44, pp. 1291–1303, (2007).
10. Wilkes, J.O., "Fluid Mechanics for Chemical Engineers with Microfluidics and CFD", 2nd Edition, Prentice Hall, N. J., (2005).
11. Zimmerman, W.B.J., "Multiphysics Modelling with Finite Element Methods", World Scientific Pub., London, Hackensack, N.J., (2006).
12. COMSOL Multiphysics User's Guide, COMSOL Multiphysics 4.0a Documentation, (2010).
13. Taylor, R.L., Pister, K.S. and Goudreau, G.L., "Thermomechanical Analysis of Viscoelastic Solids", *International Journal for Numerical Methods in Engineering*, Vol. 2(1), pp. 45-59, (1970).
14. Haghigi-Yazdi, M. and Lee-Sullivan, P., "Stress Relaxation of a Polycarbonate Blend after Hygrothermal Aging", *Mechanics of Time-Dependent Materials*, Vol. 17, pp. 171-193, (2013).
15. Guo, Y. and Bradshaw, R.D., "Isothermal Physical Aging Characterization of Polyether-Ether-Ketone (PEEK) and Polyphenylene Sulfide (PPS) Films by Creep and Stress", *Mechanics of Time-Dependent Materials*, Vol. 11(1), pp. 61-89, (2007).

پیوست الف

مدل تعمیم یافته‌ی کلوین - وویت

$$\begin{cases} \varepsilon_x = \frac{\partial u}{\partial x} \\ \varepsilon_y = \frac{\partial v}{\partial y} \\ \varepsilon_z = \varepsilon_x^e + \varepsilon_z^{an_1} + \varepsilon_z^{an_2} \\ \varepsilon_{xy} = \frac{1}{2} \left(\frac{\partial u}{\partial y} + \frac{\partial v}{\partial x} \right) \end{cases} \quad (\text{الف-}1)$$

$$\begin{cases} \varepsilon_x^e = \varepsilon_x - \varepsilon_x^{an_1} - \varepsilon_x^{an_2} \\ \varepsilon_y^e = \varepsilon_y - \varepsilon_y^{an_1} - \varepsilon_y^{an_2} \\ \varepsilon_z^e = \frac{\frac{2}{3}G - K}{\frac{3}{4}G + K} (\varepsilon_x^e + \varepsilon_y^e) \quad \text{تش صفحه ای}, \\ \varepsilon_z^e = 0 \quad \text{کرنش صفحه ای}, \\ \varepsilon_{xy}^e = \varepsilon_{xy} - \varepsilon_{xy}^{an_1} - \varepsilon_{xy}^{an_2} \end{cases} \quad (\text{الف-}2)$$

$$\begin{cases} e_x^e = \varepsilon_x^e - \frac{\varepsilon_{vol}^e}{3} \\ e_y^e = \varepsilon_y^e - \frac{\varepsilon_{vol}^e}{3} \\ e_z^e = \varepsilon_z^e - \frac{\varepsilon_{vol}^e}{3} \\ e_{vol}^e = \varepsilon_x^e + \varepsilon_y^e + \varepsilon_z^e \end{cases} \quad (\text{الف-}3)$$

$$\begin{cases} \sigma_x = 2Ge_x^e + Ke_{vol}^e \\ \sigma_y = 2Ge_y^e + Ke_{vol}^e \\ \sigma_z = 2Ge_z^e + Ke_{vol}^e \\ \sigma_{xy} = 2Ge_{xy}^e \end{cases} \quad (\text{الف-}4)$$

$$\begin{cases} \sigma_x^{ani_i} = \left(\frac{4}{3}G_i + K_i\right)\varepsilon_x^{ani_i} + \left(K_i - \frac{2}{3}G_i\right)(\varepsilon_y^{ani_i} + \varepsilon_z^{ani_i}) \\ \sigma_y^{ani_i} = \left(\frac{4}{3}G_i + K_i\right)\varepsilon_y^{ani_i} + \left(K_i - \frac{2}{3}G_i\right)(\varepsilon_x^{ani_i} + \varepsilon_z^{ani_i}) \\ \sigma_z^{ani_i} = \left(\frac{4}{3}G_i + K_i\right)\varepsilon_z^{ani_i} + \left(K_i - \frac{2}{3}G_i\right)(\varepsilon_x^{ani_i} + \varepsilon_y^{ani_i}) \\ \sigma_{xy}^{ani_i} = 2G_i\varepsilon_{xy}^{ani_i}, i = 1,2 \quad (\text{بدون قرارداد جمع}) \end{cases} \quad (\text{الف-}5)$$

$$\begin{cases} \sigma_x^{vi_i} = \frac{\eta_i}{(1+v)(1-2v)} [(1-v)\dot{\varepsilon}_x^{ani_i} + v(\dot{\varepsilon}_y^{ani_i} + \dot{\varepsilon}_z^{ani_i})] \\ \sigma_y^{vi_i} = \frac{\eta_i}{(1+v)(1-2v)} [(1-v)\dot{\varepsilon}_y^{ani_i} + v(\dot{\varepsilon}_x^{ani_i} + \dot{\varepsilon}_z^{ani_i})] \\ \sigma_z^{vi_i} = \frac{\eta_i}{(1+v)(1-2v)} [(1-v)\dot{\varepsilon}_z^{ani_i} + v(\dot{\varepsilon}_x^{ani_i} + \dot{\varepsilon}_y^{ani_i})] \\ \sigma_{xy}^{vi_i} = 2G_i\tau_i\dot{\varepsilon}_{xy}^{vi_i}, i = 1,2 \quad (\text{بدون قرارداد جمع}) \end{cases} \quad (\text{الف-}6)$$

مدل تعیین یافته‌ی ماکسول

$$\begin{cases} \varepsilon_x = \frac{\partial u}{\partial x} \\ \varepsilon_y = \frac{\partial v}{\partial y} \\ \varepsilon_z = \frac{-\lambda(\varepsilon_x + \varepsilon_y) + \sigma_{qz}}{\lambda + 2G} \\ \varepsilon_{xy} = 0 \\ \varepsilon_{xy} = \frac{1}{2}(\frac{\partial u}{\partial y} + \frac{\partial v}{\partial x}) \end{cases} \quad (7)$$

تش صفحه‌ای
کرنش صفحه‌ای

$$\begin{cases} e_x = \varepsilon_x - \frac{\varepsilon_{vol}}{3} \\ e_y = \varepsilon_y - \frac{\varepsilon_{vol}}{3} \\ e_z = \varepsilon_z - \frac{\varepsilon_{vol}}{3} \\ \varepsilon_{vol} = \varepsilon_x + \varepsilon_y + \varepsilon_z \end{cases} \quad (8)$$

$$\begin{cases} \sigma_x = 2Ge_x + K\varepsilon_{vol} + \sigma_{qx} \\ \sigma_y = 2Ge_y + K\varepsilon_{vol} + \sigma_{qy} \\ \sigma_z = 2Ge_z + K\varepsilon_{vol} + \sigma_{qz} \\ \sigma_{xy} = 2G\varepsilon_{xy} + \sigma_{qxy} \end{cases} \quad (9)$$

$$\begin{cases} q_{x_i}^e = q_{x_i} - \frac{q_{x_i} + q_{y_i} + q_{z_i}}{3} \\ q_{y_i}^e = q_{y_i} - \frac{q_{x_i} + q_{y_i} + q_{z_i}}{3} \\ q_{z_i}^e = q_{z_i} - \frac{q_{x_i} + q_{y_i} + q_{z_i}}{3} \\ i = 1,2 \quad (\text{بدون قرارداد جمع}) \end{cases} \quad (10)$$

$$\begin{cases} \sigma_{qx} = 2G_i q_{x_i}^e + K_i(q_{x_i} + q_{y_i} + q_{z_i}) \\ \sigma_{qy} = 2G_i q_{y_i}^e + K_i(q_{x_i} + q_{y_i} + q_{z_i}) \\ \sigma_{qz} = 2G_i q_{z_i}^e + K_i(q_{x_i} + q_{y_i} + q_{z_i}) \\ \sigma_{qxy} = 2G_i q_{xy_i}^e, i = 1,2 \quad (\text{با قرارداد جمع}) \end{cases} \quad (11)$$

$$\begin{cases} \dot{q}_{x_i} + \frac{1}{\tau_i} q_{x_i} = \dot{\varepsilon}_x \\ \dot{q}_{y_i} + \frac{1}{\tau_i} q_{y_i} = \dot{\varepsilon}_y \\ \dot{q}_{z_i} + \frac{1}{\tau_i} q_{z_i} = \dot{\varepsilon}_z \\ \dot{q}_{xy_i} + \frac{1}{\tau_i} q_{xy_i} = \dot{\varepsilon}_{xy} \\ i = 1,2 \quad (\text{بدون قرارداد جمع}) \end{cases} \quad (12)$$

پیوست ب

جزئیات مدل‌سازی با استفاده از مدل تعمیم یافته‌ی کلوین - وویت در حالت کرنش صفحه‌ای

مدل تعمیم یافته کلوین - وویت در نظر گرفته شده در این پژوهش، دارای یک فنر خطی و دو المان کلوین - وویت می‌باشد که به صورت سری به هم متصل شده‌اند (شکل ۱). بنابراین، تنش کلی مدل برابر با تنش فنر خطی و هم‌چنین تنش در هر کدام از المان‌های کلوین - وویت (معادله‌ی ۴)، و کرنش کلی مدل برابر با مجموع کرنش‌های فنر خطی و دو المان کلوین - وویت (معادله‌ی ۱) می‌باشد. به منظور مدل‌سازی مدل تعمیم یافته در نرم‌افزار، یک فرم عمومی معادلات دیفرانسیل جزئی برای مدل کردن تنش - کرنش کلی مدل در نظر گرفته شد و برای هر کدام از المان‌های کلوین - وویت از فرم ضربی معادلات دیفرانسیل جزئی بهره گرفته شد.

فرم عمومی معادلات دیفرانسیل جزئی

با توجه به معادله‌ی فرم عمومی معادلات دیفرانسیل جزئی (معادله‌ی ۱۰) متغیر وابسته برابر با جابه‌جایی‌های کلی مدل؛ یعنی α و γ ، قرار داده شد و ضرایب معادله به صورت زیر تعریف شد:

$$e_a = d_a = \begin{bmatrix} 0 & 0 \\ 0 & 0 \end{bmatrix} \quad (b-1)$$

$$F = \begin{Bmatrix} 0 \\ 0 \end{Bmatrix} \quad (b-2)$$

$$\Gamma = \begin{bmatrix} -\sigma_x & -\sigma_{xy} \\ -\sigma_{xy} & -\sigma_y \end{bmatrix} \quad (b-3)$$

اگر این ضرایب در معادله‌ی (۱۰) قرار داده شود، دستگاه معادلات تعادل جسم در حالت صفحه‌ای حاصل می‌شوند:

$$\begin{cases} -\frac{\partial \sigma_x}{\partial x} - \frac{\partial \sigma_{xy}}{\partial y} = 0 \\ -\frac{\partial \sigma_{xy}}{\partial x} - \frac{\partial \sigma_y}{\partial y} = 0 \end{cases} \quad (b-4)$$

که در آن σ_x , σ_y و σ_{xy} برابر با تنش‌های متناظر در فنر خطی مدل تعمیم یافته (با مدول برشی G) قرار داده می‌شود:

$$\begin{cases} \sigma_x = 2G\varepsilon_x^e + (K - \frac{2}{3}G)(\varepsilon_x^e + \varepsilon_y^e + \varepsilon_z^e) \\ \sigma_y = 2G\varepsilon_y^e + (K - \frac{2}{3}G)(\varepsilon_x^e + \varepsilon_y^e + \varepsilon_z^e) \\ \sigma_z = 2G\varepsilon_z^e + (K - \frac{2}{3}G)(\varepsilon_x^e + \varepsilon_y^e + \varepsilon_z^e) \\ \sigma_{xy} = 2G\varepsilon_{xy}^e \end{cases} \quad (b-5)$$

که در آن ε_x^e , ε_y^e , ε_z^e و ε_{xy}^e کرنش‌های فنر خطی در مدل تعمیم یافته می‌باشند که توسط روابط (الف-۲) به کرنش کلی (ε) و کرنش‌های دو المان کلوین - وویت (ε^{an1} و ε^{an2}) مرتبط می‌شوند.

فرم ضریبی معادلات دیفرانسیل جزئی

برای هر کدام از المان‌های کلوین- وویت در مدل تعیین یافته، یک فرم ضریبی معادلات دیفرانسیل جزئی ایجاد شد که در آن متغیرهای وابسته، کرنش در این المان‌ها؛ یعنی ϵ_x^{ani} ، ϵ_y^{ani} و ϵ_z^{ani} ($i=1,2$)، در نظر گرفته می‌شود. ضرایب فرم ضریبی PDE در معادله (۹) نیز به صورت زیر تعریف می‌شوند:

$$e_a, c, \alpha, \gamma, \beta = 0 \quad (\text{۶-ب})$$

$$d_a = \begin{bmatrix} \tau_i(2G_i)(1+\nu) & 0 & 0 & 0 \\ 0 & \tau_i(2G_i)(1+\nu) & 0 & 0 \\ 0 & 0 & \tau_i(2G_i)(1+\nu) & 0 \\ 0 & 0 & 0 & \tau_i(2G_i) \end{bmatrix} \quad (\text{۷-ب})$$

$$\alpha = \begin{bmatrix} 2G_i(1+\nu) & 0 & 0 & 0 \\ 0 & 2G_i(1+\nu) & 0 & 0 \\ 0 & 0 & 2G_i(1+\nu) & 0 \\ 0 & 0 & 0 & 2G_i \end{bmatrix} \quad (\text{۸-ب})$$

$$f = \begin{Bmatrix} \sigma_x \\ \sigma_y \\ \sigma_z \\ \sigma_{xy} \end{Bmatrix} \quad (\text{۹-ب})$$

بنابراین با تعریف پارامترهای معادلات (الف- ۱ تا ۴) و استفاده از متغیرهای کرنش فنر خطی (ϵ°) و کرنش‌های دو المان کلوین- وویت (ϵ^{ani}) در معادلات دیفرانسیل جزئی، این دو فرم عمومی و ضریبی معادلات به هم مرتبط می‌شوند و در مجموع مدل تعیین یافته‌ی کلوین- وویت ساخته می‌شود.